

# 矽 整 流 器

越 字 編

中国工业出版社

# 硒 整 流 器

越 宇 編

中 国 工 业 出 版 社

# 礦 整 流 器

越 字 編

(根据煤炭工业出版社纸型重印)

\*

煤炭工业部书刊编辑室编辑(北京东长安街煤炭工业部大楼)

中国工业出版社出版(北京铁狮子胡同丙10号)

北京市书刊出版业营业登记证字第110号

中国工业出版社第一印刷厂印刷

新华书店北京发行所发行。各地新华书店经售

\*

开本787×1092<sup>1</sup>/<sub>32</sub>·印张1<sup>1</sup>/<sub>4</sub>·插页1·字数19,000

1958年10月北京第一版

1963年6月北京新一版·1965年8月北京第三次印刷

印数5,294—14,853·定价(科四)0.15元

\*

统一书号: 15165·2549(煤炭-132)

在現代化矿井中，矽整流器得到了广泛的应用。这本小册子对半导体(矽)的整流原理、矽整流器的构成元件及其特性、矽整流器的接线方法、技术特征及其运行和维护等都简单扼要地作了介绍和说明。

本书可供矿山机电工作人員参考閱讀。

## 目 錄

一、半导体——硒的整流原理.....	3
二、硒整流元件.....	6
三、硒整流元件的电气特性.....	8
四、硒整流器.....	14
五、硒整流器的运行和维护.....	82



## 一、半導体——硒的整流原理

所有固体按其导电能力的不同，可分为导体、半导体及绝缘体三类。导体的电阻很小，主要的有铜、铝、银等金属，其电阻率约在  $10^{-4} \sim 10^{-5}$  欧姆·公分之间，电阻的大小随温度的升高而增加。半导体包括导电能力较小的金属，例如，锗、硒、硅等，其电阻率约在  $10 \sim 10^{10}$  欧姆·公分之间，而其电阻则随温度的增加而减小。绝缘体玻璃、云母等物体在正常条件下，只能通过极小的电流。其电阻率约为  $10^{10} \sim 10^{18}$  欧姆·公分。

一切物质都是由微小的颗粒——分子组成。而分子又由更微小的原子组成。每一种元素的原子由带阳电的原子核和围绕它运动的带阴电的电子所组成。原子核外部的全部电子都是离核以一定的距离按一定的速度围绕着原子核运动。离原子较近的电子因受原子核阳电的作用有较强的结合力，因而不容易离开原子；离原子核较远的电子与原子核的作用力就大大减小，因而就易于脱离原子核。

导电金属原子的基本特征是位于原子外层轨道的电子与原子核的结合很弱，并且易于脱离原子核。从原子外层脱离掉的电子在物体的晶体点阵内作无规则的运动，此种电子称为传导电子。金属的导电能力是由传导电子来实现的。导电金属的传导电子数目很多，所以导电率，即导电的能力很大，而电阻率很小。

絕緣体和半导体与导电金属不同之点是，它的原子外层的电子与原子核紧密地结合在一起，不容易脱离原子核。在絕緣体和半导体中，如果不含有杂质和不受电离的作用，则导电能力非常微小。

半导体不仅是由于脱离原子的少数电子完成导电作用，而且，半导体内失去电子的带阳电原子也完成导电作用。半导体内失去电子的原子并不移动，只是它可以夺取另一个相邻原子的电子。因此，实际效果等于原来失去电子的原子移动了一段距离，而完成导电作用。此种缺少电子的原子称为电子穴，而此种导电作用就称为空穴导电。

純半导体所能产生的电子穴和传导电子是很少的，所以导电能力很弱。此种純半导体在实际中很少应用。通常在半导体内掺杂有一定量的杂质，用以改变純半导体的性能。杂质是半导体内导电能力的主要来源。因此，半导体内有杂质存在时，会使半导体的电阻显著地降低。

半导体——硒的整流作用可以按图1所示的整流元件示意图来說明。此种整流元件的整流作用在于其电阻随电

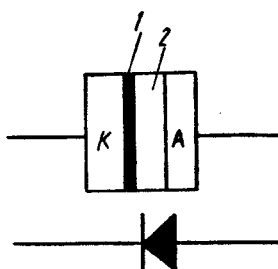


图 1

流的通过方向而急剧变化。当电流是从加于阳极(A)的正电位与加于阴极(K)的负电位所产生时，则整流元件通过的电流称为順向电流，此时，整流元件的电阻很小。反之，当正电位加于阴极(K)与负电位加于阳极(A)时通过整流元件的电

流称为逆向电流，此时整流元件的电阻很大。

图1中的硒层2具有带正电荷的电子穴。阻挡层1的单位体积内的电子穴比硒层2的单位体积内的电子穴的数目少得多。因为1, 2两层中的单位体积内电子穴不相等，电子穴则开始从硒层2向阻挡层1移动。于是在两层的交界处产生空间电荷；层2为负，层1为正。此种空间电荷的电场将阻止电子穴的继续移动，直到停止移动为止。这个过程是在整流元件没接通电源，阻挡层1形成时就已发生了。

当在整流元件上加了电压，使阳极A为正、阴极K为负时，则外加电压的电场将克服空间电荷的电场。这样就使硒层2的电子穴继续向阻挡层1移动。于是阻挡层1的电子穴达到饱和，而且使阻挡层1的电阻减小到等于硒层2的电阻。这样电流通过整流元件，也就是顺向电流。但是，当整流元件所加电压，阳极为负、阴极为正时，则外加电压的电场将与空间电荷所产生的电场相重合，于是不但阻碍电子穴从硒层2向阻挡层1移动，而且还会驱使以前移动到阻挡层1的电子穴返回硒层2。因此阻挡层1的电阻急剧增加，这样经过整流元件的电流就很小，这就是逆向电流。因此，在整流元件上加上不同方向的电压时，所能通过的电流相差很大。这样，整流元件就可以在电路内完成单向通电——整流的作用。

## 二、硒整流元件

硒整流元件的构造是这样：在圆形钢板或铝板上加有一薄层硒，并在硒层上涂一层由易熔金属——锡、镉或铋组成的合金层。

圆形钢板或铝板是压制而成的，厚度约在0.8~1.5公厘之间。小功率硒整流元件的圆形钢板或铝板的直径为5~10公厘，而较大功率的整流元件的直径达120公厘。

硒整流元件的硒层的加工制做就是在熾热的圆形钢板或铝板上涂以晶体硒或者将硒粉熔化在它上面。

由易熔金属锡、镉及铋组成的合金涂在硒层上做为阴极。易熔合金是用喷射器将熔化的合金喷涂在硒层上的。

为了防止易熔合金阴极与圆形钢板或铝板阳极之间发生接触短路，则由易熔合金涂成的阴极的直径要比硒层的

直径小一些。这样，硒整流元件的有效整流面积只是易熔合金阴极的接触面积。

硒整流元件的构造如图2所示。在双头丝扣的螺杆11上套有绝缘套筒13，套筒上装有圆形钢板或铝板1。为了防止其氧化在圆形板外面有防腐层2。在防腐层2右侧的是硒层3及阻挡层4、易熔合金阴极

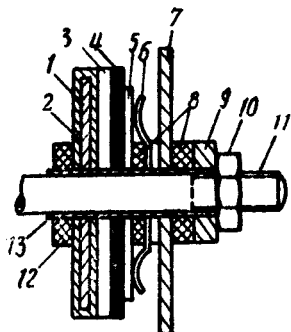


图 2

层 5，再次是金属弹性垫圈 6。此种垫圈能达到接触良好而不致损坏易熔合金层。此后再垫以绝缘垫圈 8、接线板 7 及金属垫圈 9，之后，用螺帽 10 固定住。

在圆形钢板或铝板的左侧可以用上述的顺序装上需要数量的整流元件，用螺帽固定。

绝缘垫圈 8、金属垫圈 9 和 12 以及扩大的接线板 7 也起到冷却导电元件的作用。

在硒层的加工过程中，使硒层形成有不同导电性能的两个层。导电性良好的一层和圆形钢板或铝板相毗连，这就是整流元件的硒层；导电性不良的一层与易熔合金阴极层相毗连，也就是阻挡层。实际上阻挡层也是很薄的。

在此种整流元件的阳极上加以正电位及阴极上加以负电位时，整流元件就呈现很小的电阻，此时有顺向电流通过。

但是当阳极上加负电位及阴极上加正电位时，整流元件就呈现很大的电阻，此时则通过微小的逆向电流。这就是整流元件的单向导电——整流作用。

由装在一起的数个整流元件的组合体称为整流堆。根据功率、电压和电流等参数的不同，在每个整流堆上装有不同装法及不同数量的整流元件。

### 三、硒整流元件的电气特性

#### 1. 伏 安 特 性

伏安特性是硒整流元件的密度（单位面积通过的电流）与其电压間的关系。

图3是在环境温度为15°C时用直流电压作出来的整流元件的伏安特性曲线。图中縱座标的正方向是順向电流密度，而横座标的正方向是在順向电流下在整流元件上所发生的电压降；而横座标的負方向是加于整流元件的逆向电压，縱座標負方向是在加于整流元件相应的逆向电压下所产生的逆向电流。

从图3曲线可以看到，順向电流为50毫安/平方公分时，整流元件的电压降为1.25伏特。从而可以求出整流元件的单位面积的电阻为 $\frac{1.25}{0.05} = 25$  欧姆/平方公分。当逆向电压为17伏特时，产生的逆向电流为2毫安/平方公分，从此可求出整流元件单位面积的逆向电阻为 $\frac{17}{0.002} = 8500$  欧姆/平方公分。

在順向电压下，整流元件的电压降越小則整流元件的效率越高；在逆向电压下，逆向电流越小則整流电路的特性就越佳。所以整流元件应具有极小的順向电阻及极大的逆向电阻。

在正常情况下，每个整流元件的逆向电压不应超过

16~18伏特。从图3可以看出，当逆向电压超过16~18伏特时，则逆向电流成非线性的急剧增加，而损坏整流性能。

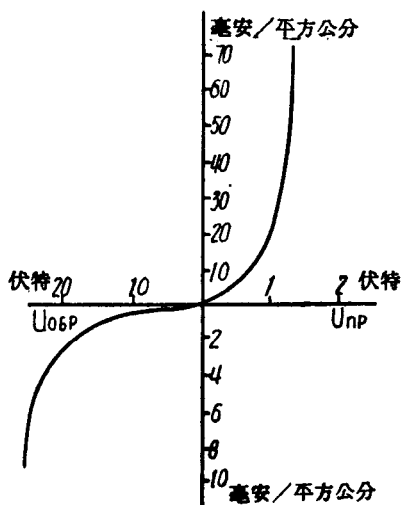


图 3

在某一小值的順向电压下产生的順向电流与逆向电流相等，此时的电压称为“下限整流电压”。通常在1微安 / 平方公分电流密度时的外施电压即为下限整流电压。如果被整流的电压小于下限整流电压，则没有整流意义。

## 2. 环境温度对整流特性的影响

硒整流元件的順向电阻和逆向电阻都与环境温度有很大关系。环境温度由 $t_0$ °C升到 $t$ °C时的电阻：

$$r_t = r_0 [1 + \alpha(t - t_0)],$$

式中  $\alpha$ ——整流元件温度系数；

$r_0$ —— $t_0$ °C时的电阻。

这里整流元件的温度系数不是一个常数，而是与整流元件通过的电流方向和整流元件的温度有关。

在  $-50^{\circ}\text{C} \sim +50^{\circ}\text{C}$  范圍內，硒整流元件的溫度系數可按下式求出：

$$\alpha = \frac{\left(\frac{T}{T_0}\right)^{-\beta}}{t - t_0},$$

式中  $T$  与  $T_0$ —— $t$  与  $t_0$   $^{\circ}\text{C}$  时的絕對溫度的度數；

$\beta$ ——與整流元件通電方向及電流大小有關的系數。

將  $\alpha$  值代入  $r_t$  式，則得

$$r_t = r_0 \left[ \left( \frac{T}{T_0} \right)^{-\beta} + 1 \right].$$

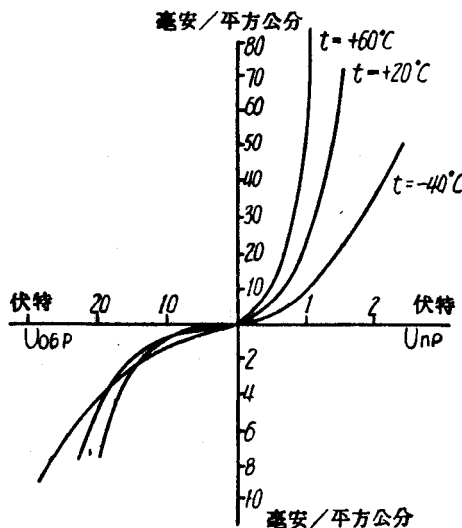


图 4

硒整流元件的电流密度为3~50毫安/平方公分时，順向电流的 $\beta$ 值可以采用2.3；而逆向电流的 $\beta$ 值采用10。

在不同的环境温度下，从試驗得到的伏安特性曲綫如图4所示。

### 3. 硒整流元件的額定順向电流和逆向电压

通过整流元件的順向电流不能超过額定值，否則会促使整流元件的电压降成非線性的迅速增加，并且使整流元件的温度急剧升高。不同直径的整流元件的額定順向电流如表1所示。

硒整流元件的容許电流

表 1

整流元件直径 (公厘)	有效面积 (平方公分)	每套最多 元件数	每元件容許 的反向电压 (伏特)	容許电流(安培)	
				半波连接	全波回路
7	0.07	60	18	0.003	0.006
18	1.1	24	18	0.04	0.08
25	3.0	32	18	0.07	0.15
35	7.2	32	18	0.15	0.3
45	13	32	18	0.3	0.6
67	28	24	16	0.6	1.2
89	47	24	16	1.2	2.4
100	69	24	16	1.5	3.4
112	85	24	16	2.0	4.0

註：1.表中所列是在純电阻負荷时的容許电流。

2.表中所列的容許电流是指元件間距离为其直径的10%时的数值，如元件間距离更大，可以增大容許电流值。

3.表中所列数值是指在环境溫度为+35°C时的数值。

逆向电压增加到一定值时，就能使极間发生击穿，此时加于极間的电压称为击穿电压。整流元件的击穿电压約

为50~80伏特。

从伏安特性曲线可以看出，逆向电压超过18伏时，则逆向电流成非线性的急剧增加，所以对整流元件的逆向电压规定为16~18伏特。

#### 4. 硅整流元件的电容

在整流电路中，从逆向电阻方向看，整流元件相当于一个电阻与电容并联又与电阻串联的电路。等效电路如图5所示。

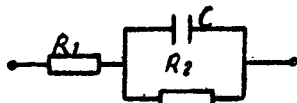


图 5

$R_1$ —硒层的电阻； $R_2$ —阻挡层  
电阻； $C$ —硒层与阴极间电容

从试验得到硒层与阴极间的电容  $C$  为  $0.01 \sim 0.02$  微法/平方公分。

在50赫芝的工频电压下，此电容所造成的容抗比电阻大得多，因此可以认为是纯电阻；但是当整流交流电路的频率高于 50 赫芝，特别是比 50 赫芝高出很多时，则容抗将不能忽略，因为容抗  $X_C = \frac{1}{2\pi f C}$ ，式中  $f$ ——线路频率，所以频率越高，则容抗  $X_C$  就越小。这样也就使逆向合成阻抗降低，从而使逆向电流增加。

所以，整流交流电路的频率越高，则整流元件本身的电容影响就越大。

## 5. 整流元件的损耗与温升

整流元件的损耗就是在它内部变成热能的电功能量。

此种损耗包括两部分：在整流元件通过顺向电流产生电压降的损耗能量和逆向电压下产生逆向电流所产生的损耗能量，即损耗能量

$$P = P_{np} + P_{op},$$

式中  $P_{np}$ ——顺向电流通过整流元件的损耗能量；

$P_{op}$ ——逆向电流通过整流元件的损耗能量。

已知整流器的负载损耗后，可按下式求出整流器的效率：

$$\eta = \frac{J_{bx} \cdot U_{bx}}{J_{bx} \cdot U_{bx} + P} \times \%,$$

式中  $J_{bx}$ ——整流电流；

$U_{bx}$ ——整流电压。

整流元件的温升决定于负载、逆向电压及其冷却条件。

在自然通风的冷却条件下，整流元件的温升可按下面的經驗公式計算：

$$Q = 20 \left( \frac{P}{F} \right)^{0.85},$$

式中  $F$ ——整流元件的散热面积。

## 6. 整流元件的失效及陈化

整流元件的失效就是逆向电阻降低，甚至与顺向电阻